

6-21 東海・関東・伊豆地域における地下水等観測結果
(2009年5月～2009年10月) (40)

**The Variation of the Groundwater Level, Discharge Rate, Tilt meter,
Three-Component Strain, and Subsidence in the Tokai, Kanto District and
Izu Peninsula, Japan. (from May. 2009 to Oct. 2009) (40)**

産業技術総合研究所
Geological Survey of Japan, AIST

2009年5月～2009年10月の半年間の東海・関東・伊豆地域の地下水等の観測結果を報告する。本報告では、観測井配置図(第1図)の図中の枠で示す4地域および第2図に示す地域に分けて表示する。6ヶ月間のデータを3ヶ月毎に示すとともに2年間の観測データを参考として示す(第3～22図)。また、浜岡・掛川における沈下等の観測結果(第23, 24図)についても示す。なお図中の印で、\$は保守を、*は雨量補正不十分を、@は解析による見かけ上のギャップを、#はバッテリー消耗を、?は原因不明をそれぞれ表す。

東海地域中部：草薙1は、2009年6月下旬に井戸口から水が溢れたので、2009年8月11日の地震まで水位がほぼ一定に見える。降雨により地表から水が流れ込んだためと思われる。2009年10月8日の水位上昇も台風により同様の現象が生じた。草薙2の水位は7月中旬に井戸口から溢れたので2009年8月11日の地震まで一定値になっているように見える。

東海地域南部：御前崎の水位データに異常が認められるが、水位計の不具合の可能性が高い。2008年6月に水位計を更新した。

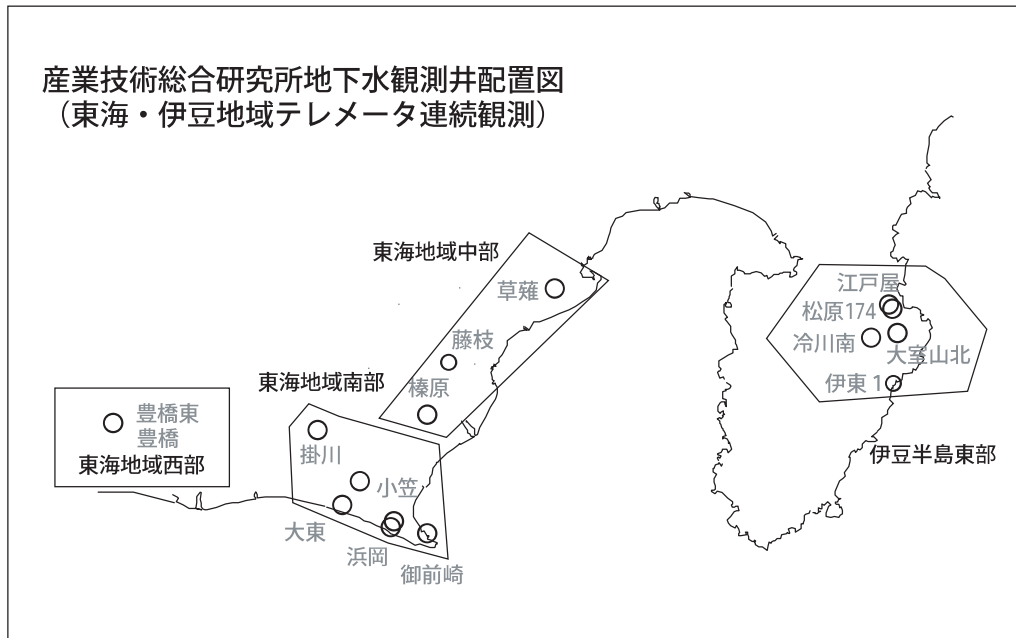
東海地域西部：特記事項はない。

伊豆半島東部地域：松原174号井は静岡県での観測による。2009年7月28日に江戸屋の水位計を更新した。

関東地域：特記事項はない。

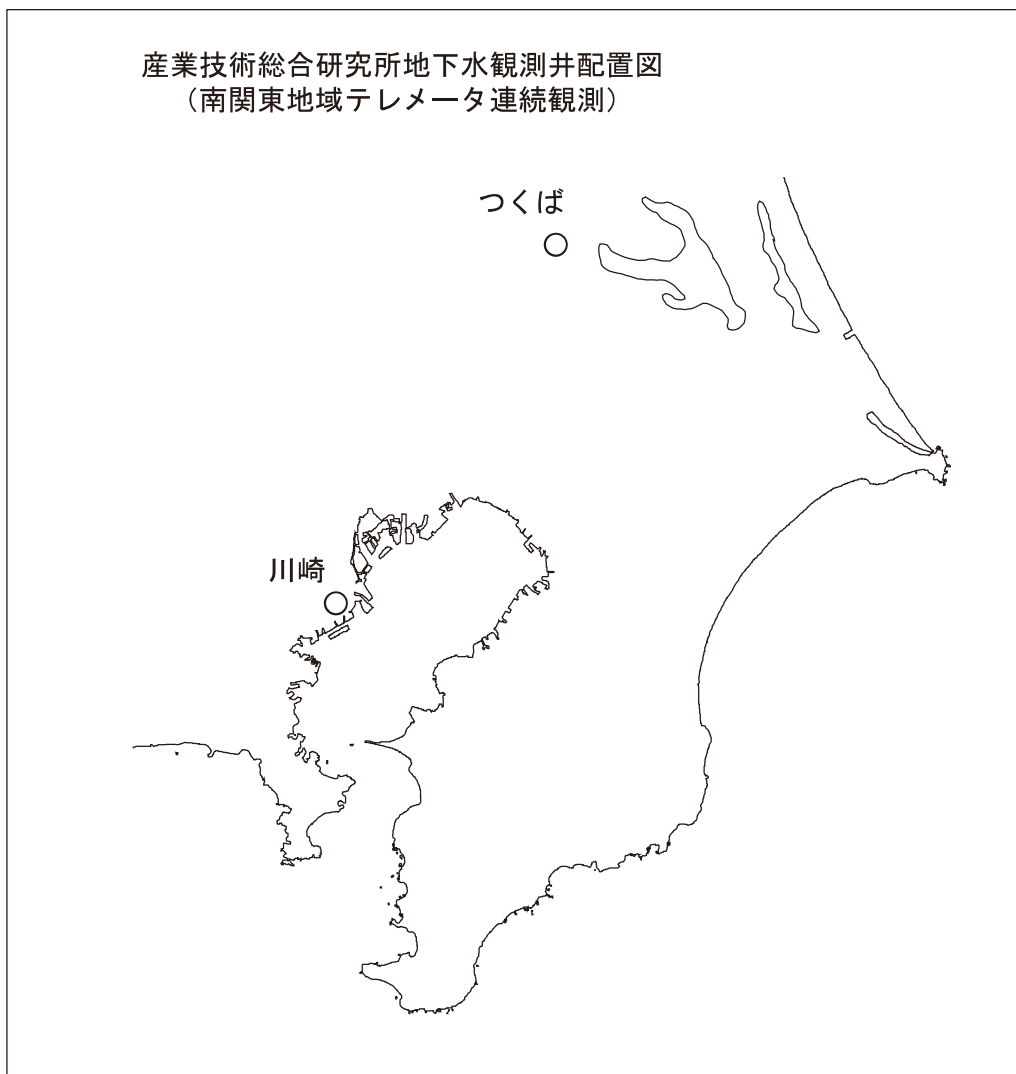
これらのデータはWellWeb (<http://www.gsj.jp/wellweb>) にて公開している。

(大谷 竜・小泉尚嗣・高橋 誠・佐藤 努・北川有一・板場智史・松本則夫)



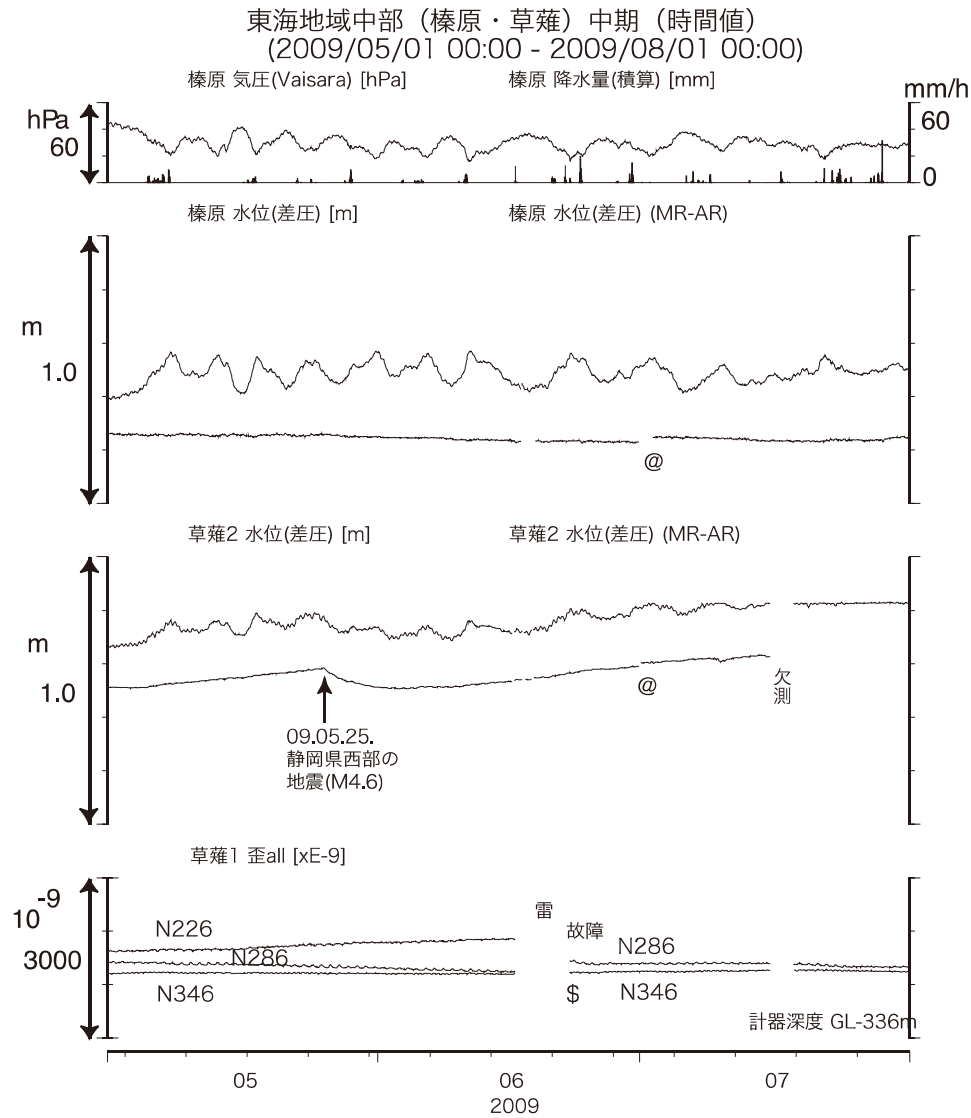
第1図 伊豆・東海地域の産業技術総合研究所地下水等観測井の配置図

Fig.1 Location of the groundwater observation wells in and around the Tokai and Izu district.

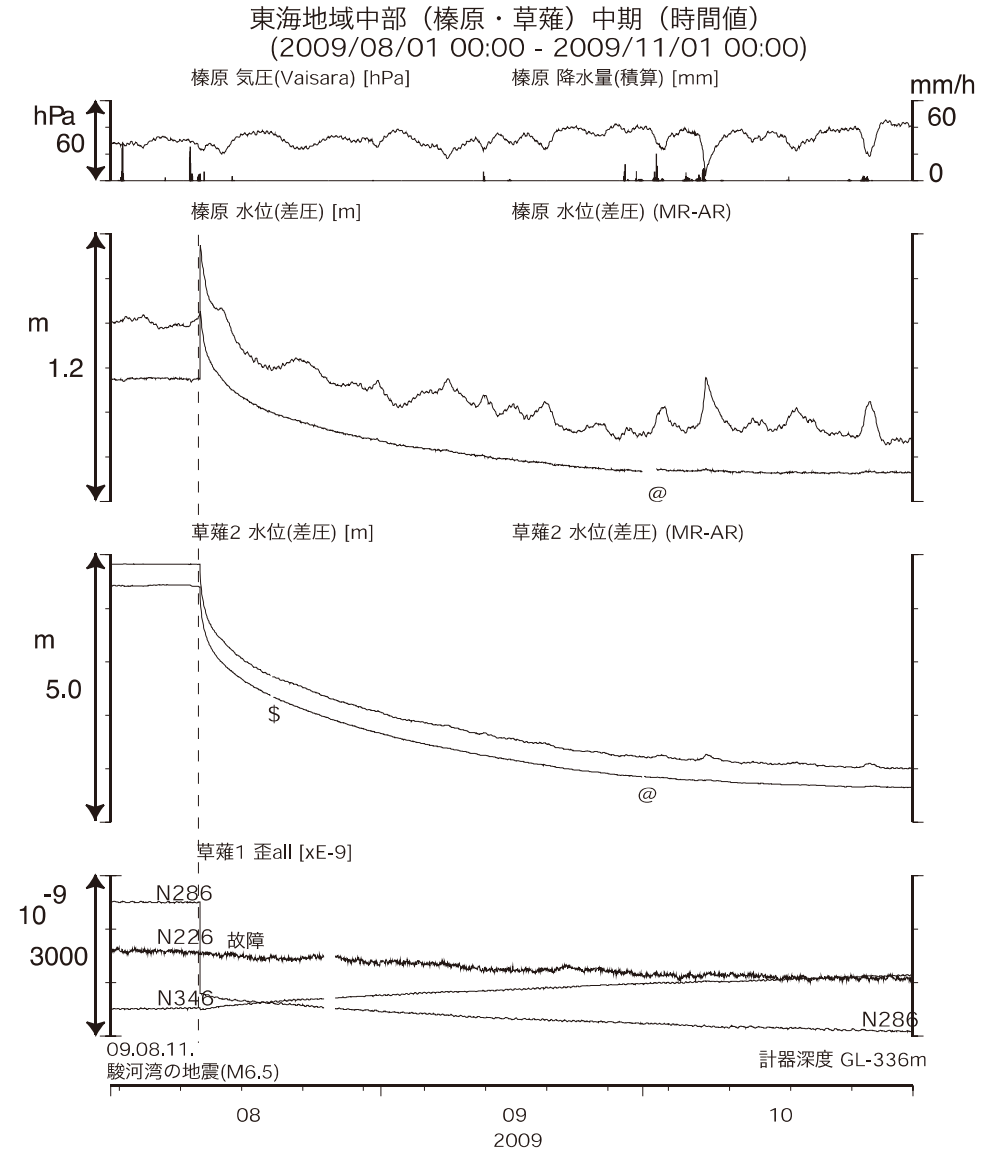


第2図 関東地域の産業技術総合研究所地下水等観測井の配置図

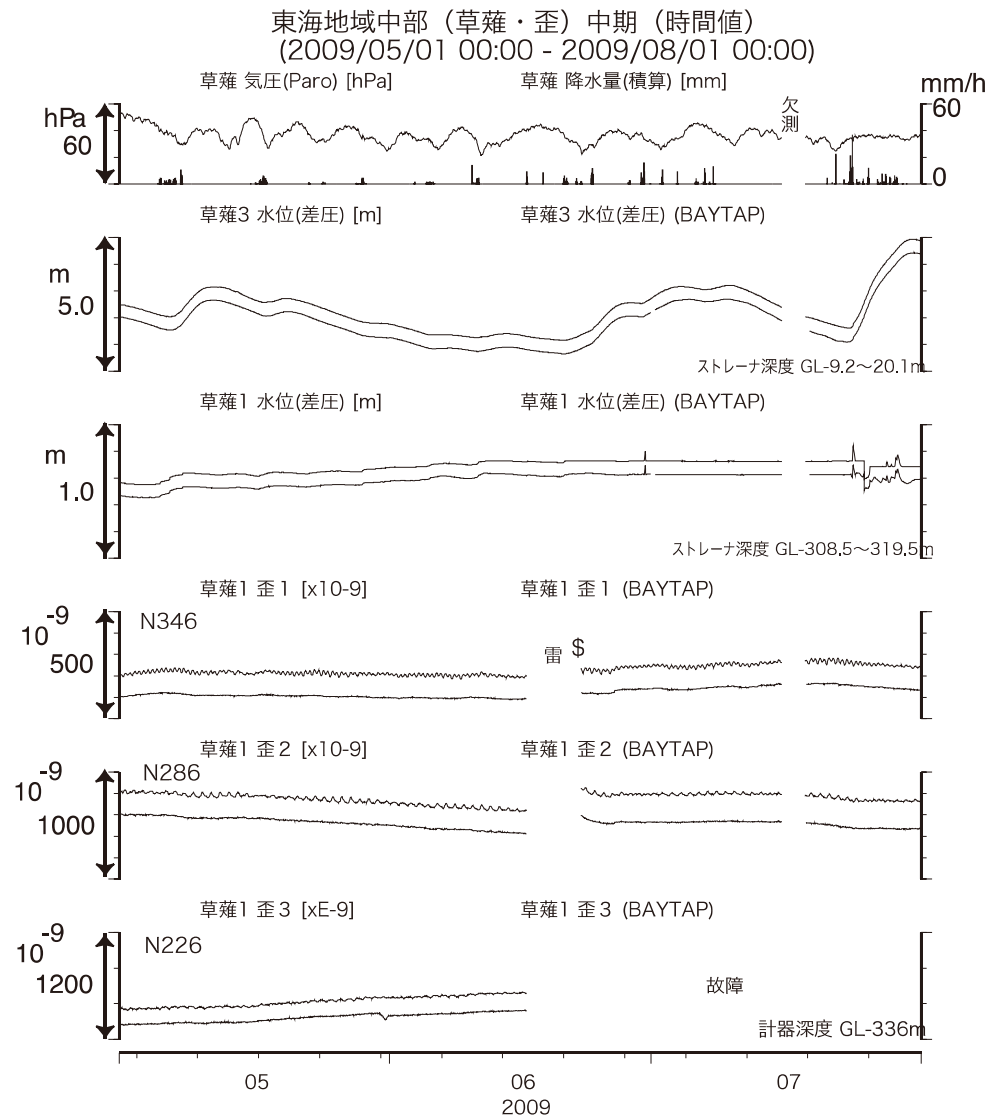
Fig.2 Location of the groundwater observation wells in the Kanto district.



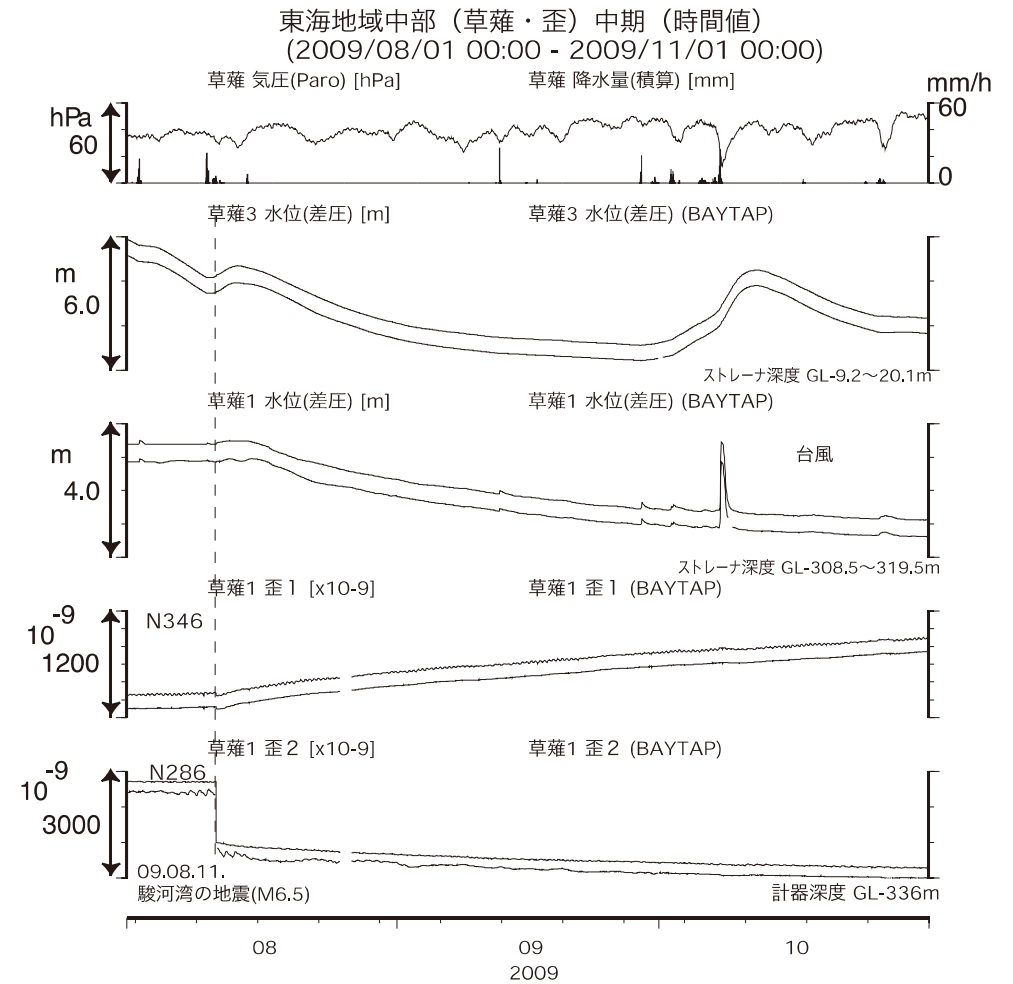
第3図 東海地域中部の地下水等の観測結果(2009年5月～2009年7月)
 Fig.3 Observed groundwater levels and others in the central Tokai district from May. 2009 to Jul. 2009.



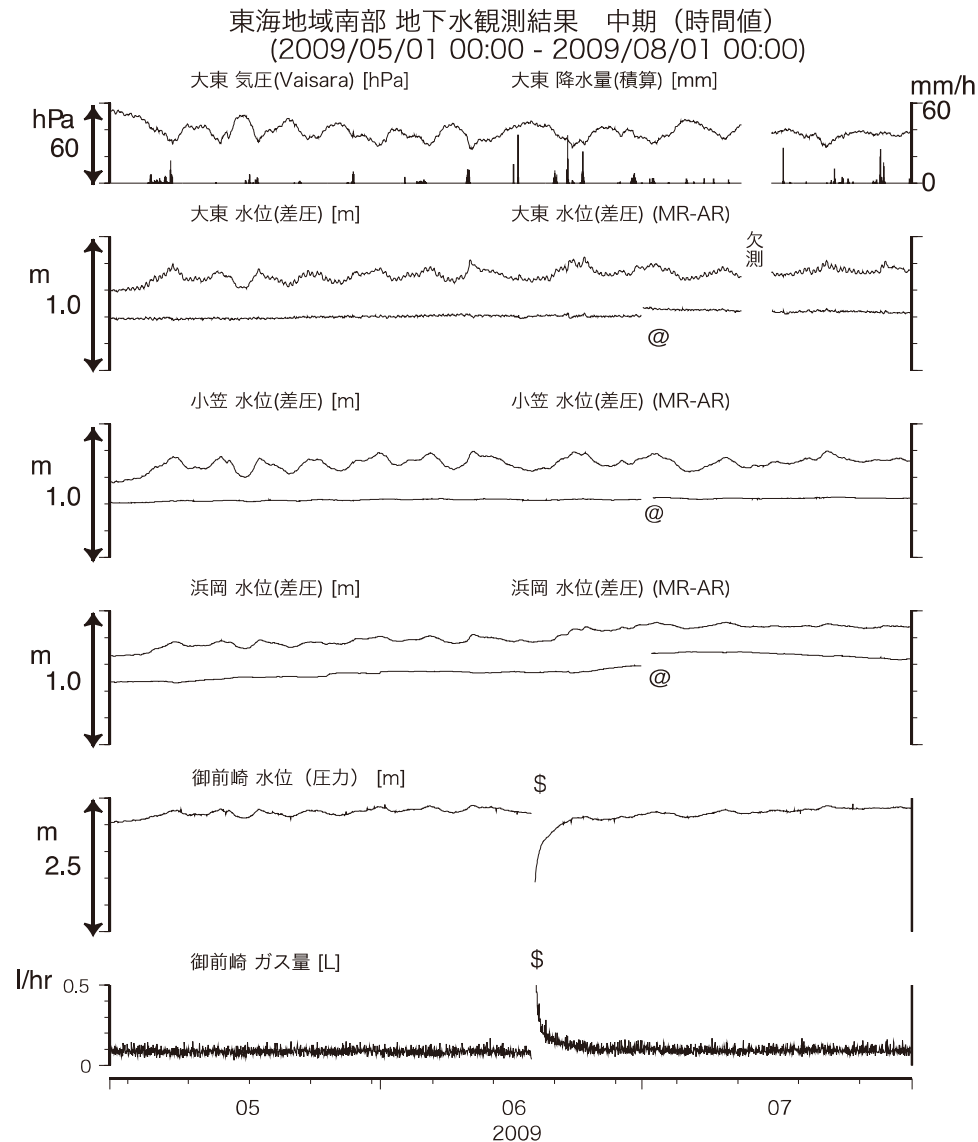
第4図 東海地域中部の地下水等の観測結果(2009年8月～2009年10月)
 Fig.4 Observed groundwater levels and others in the central Tokai district from Aug. 2009 to Oct. 2009.



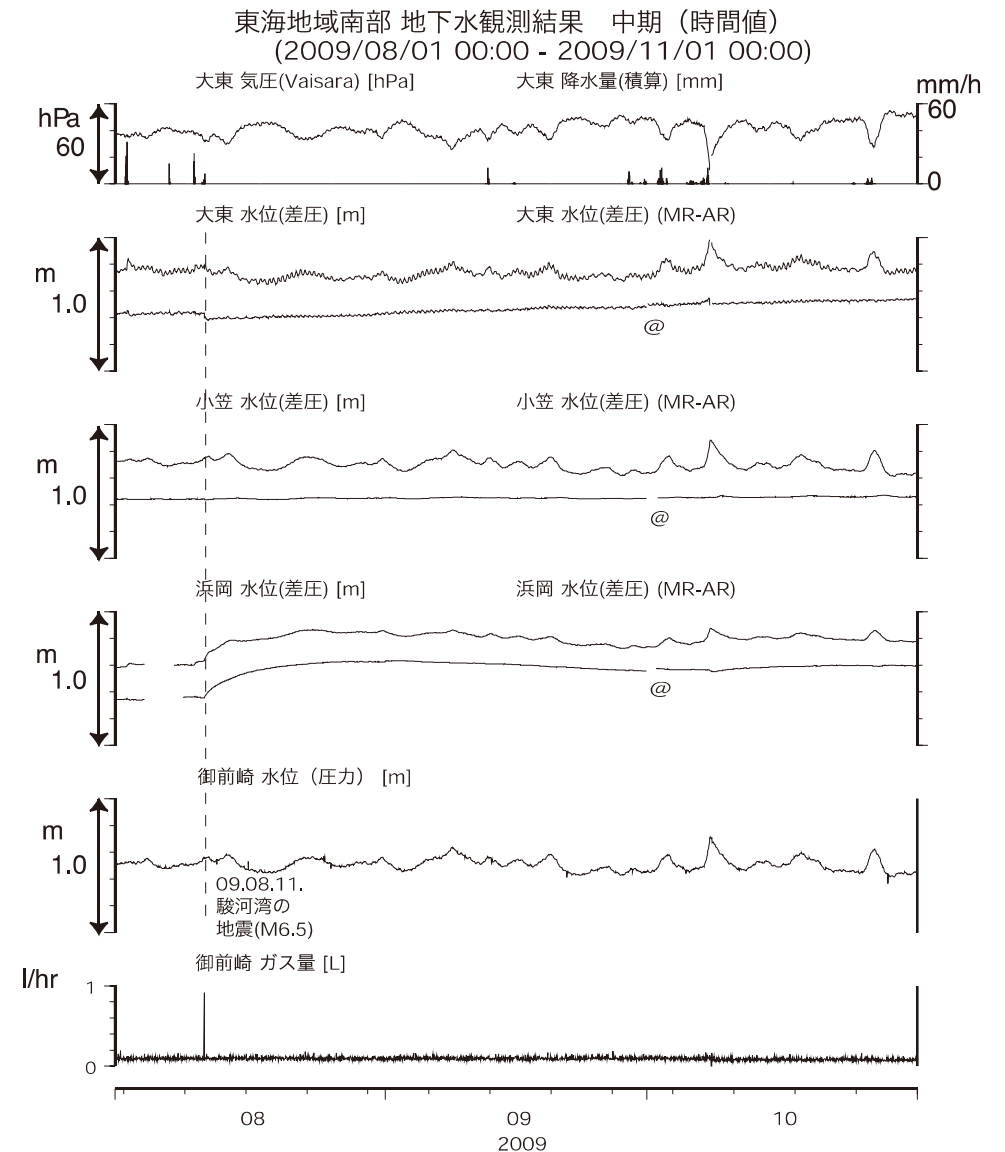
第5図 草薙観測井の地下水・歪の観測結果(2009年5月~2009年7月)
 Fig.5 Observed groundwater levels and strain at the Kusanagi
 observation site from May. 2009 to Jul. 2009.



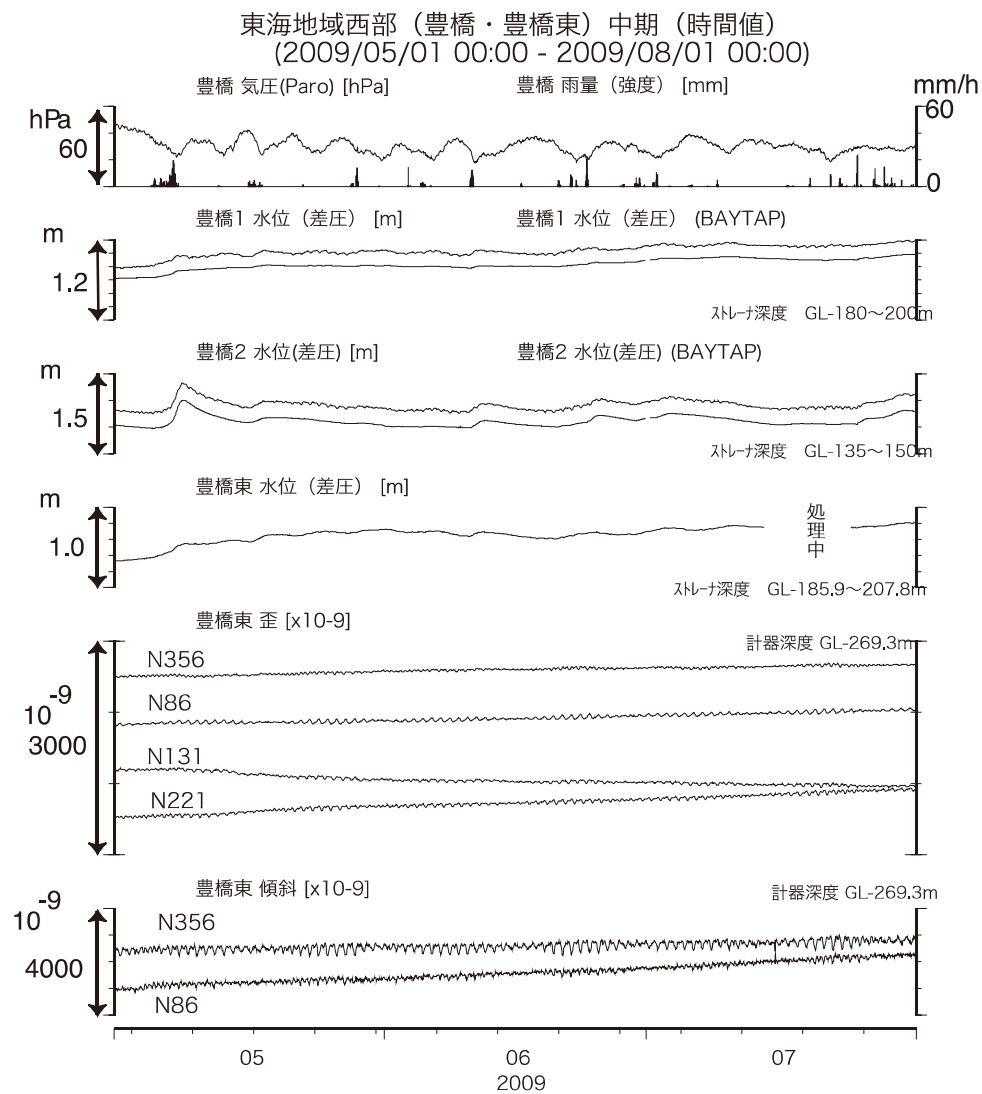
第6図
 Fig.6 C



第7図 東海地域南部の地下水等の観測結果(2009年5月～2009年7月)
Fig.7 Observed groundwater levels and others in the southern Tokai district from May. 2009 to Jul. 2009.

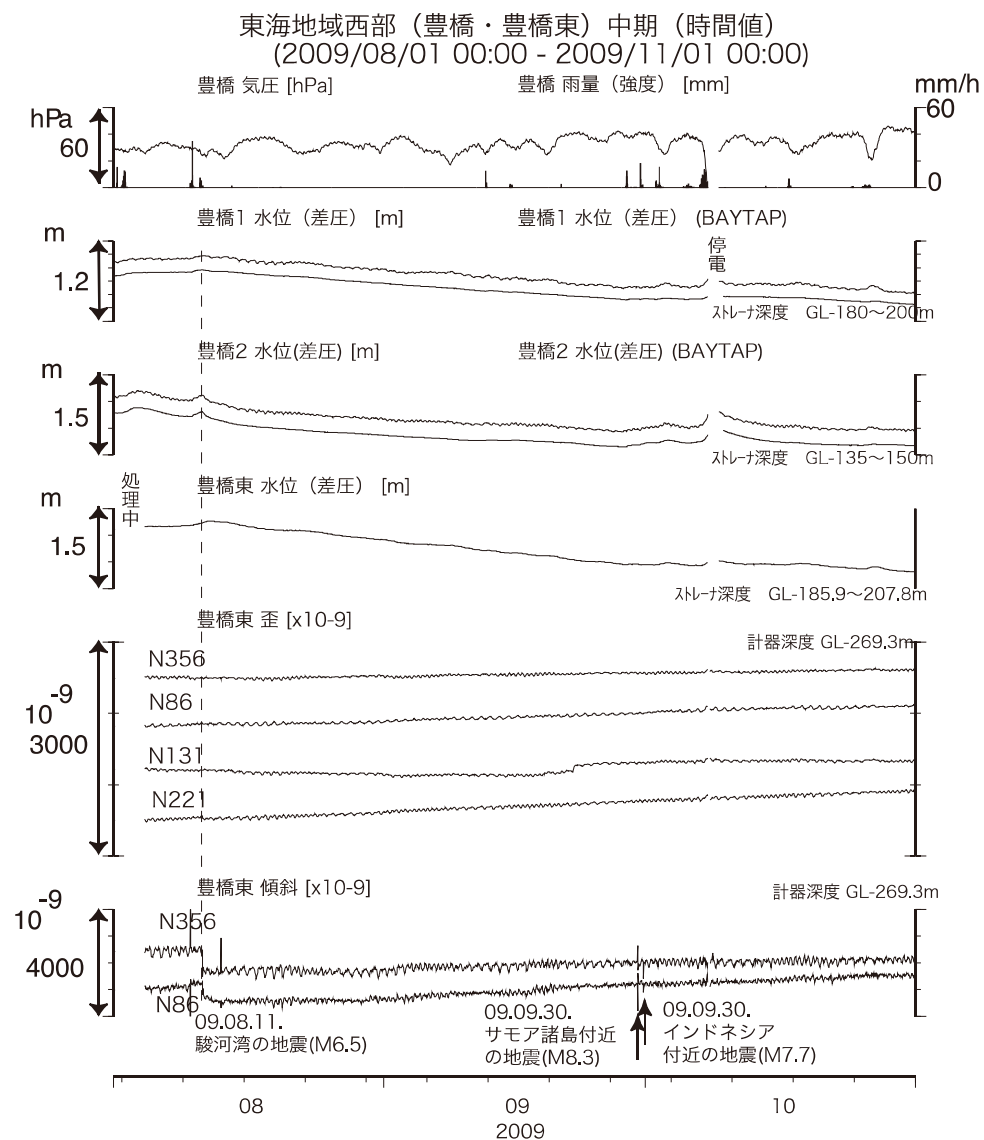


第8図 東海地域南部の地下水等の観測結果(2009年8月～2009年10月)
Fig.8 Observed groundwater levels and others in the southern Tokai district from Aug. 2009 to Oct. 2009.



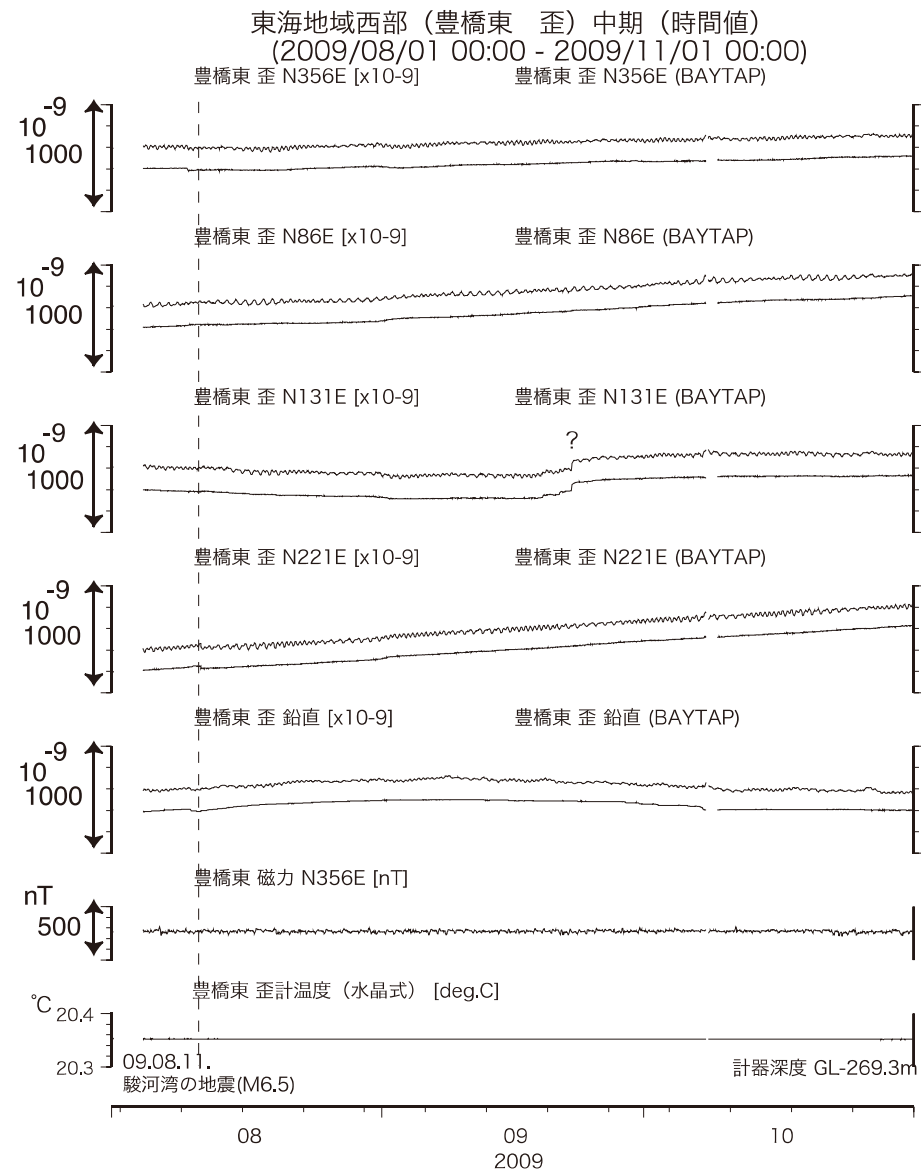
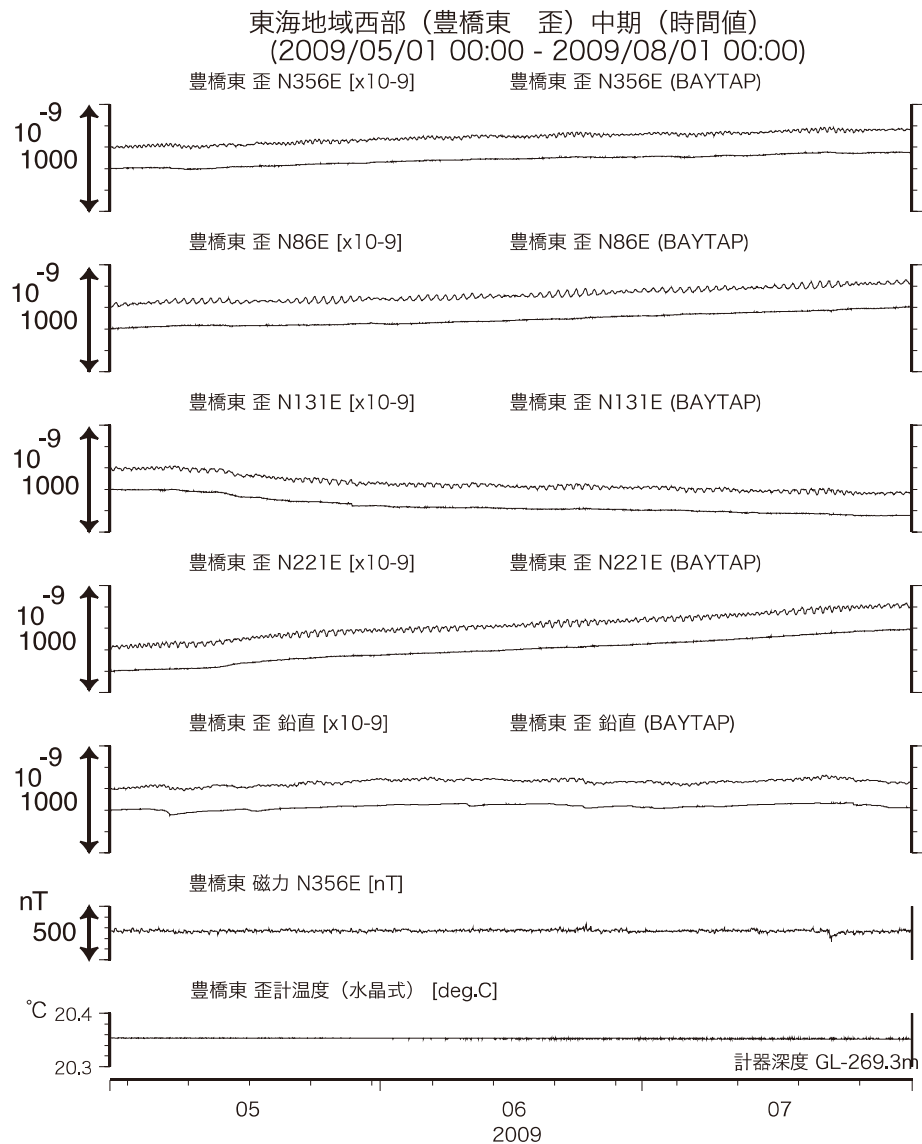
第9図 東海地域西部(豊橋・豊橋東)の地下水等の観測結果
(2009年5月～2009年7月)

Fig.9 Observed groundwater levels and others at the Toyohashi
and Toyohashi-higashi observation sites from May. 2009 to Jul. 2009.



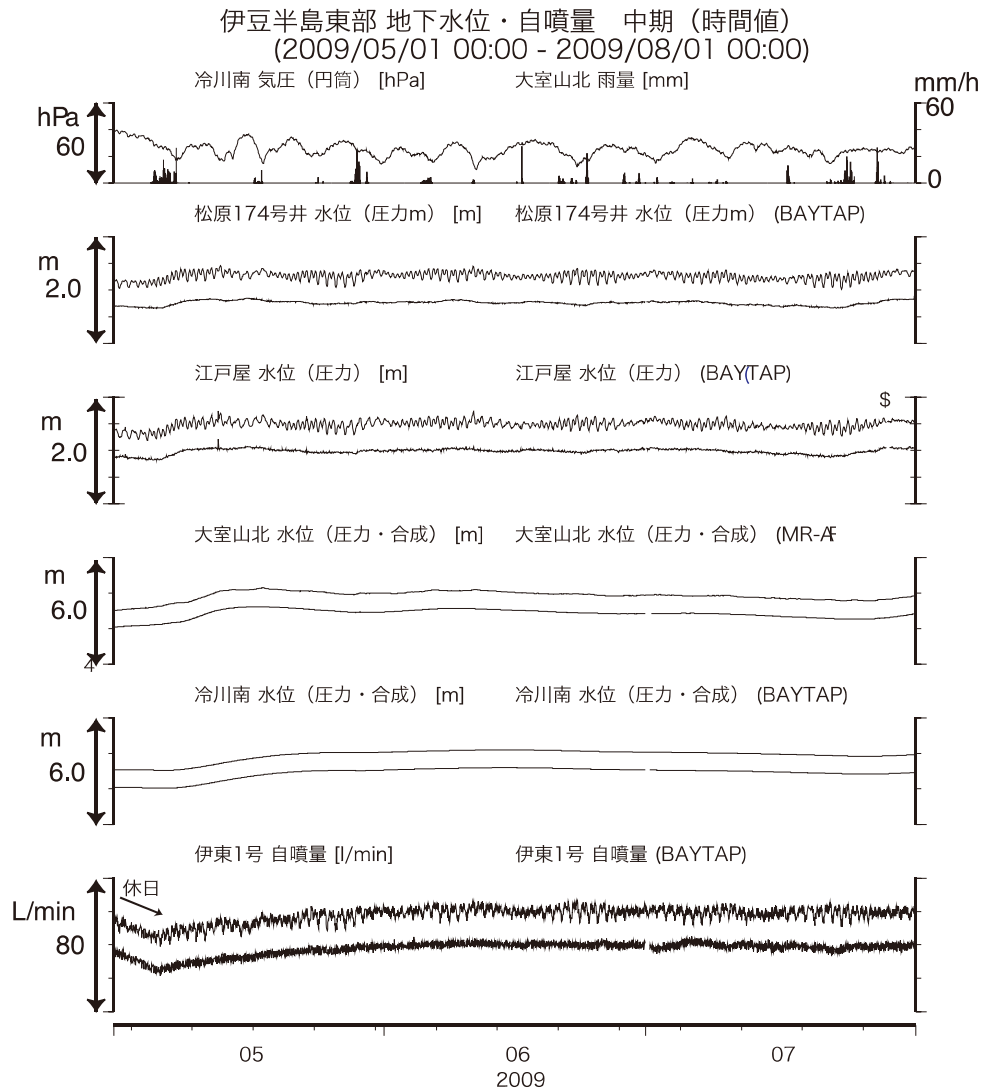
第10図 東海地域西部(豊橋・豊橋東)の地下水等の観測結果
(2009年8月～2009年10月)

Fig.10 Observed groundwater levels and others at the Toyohashi and
Toyohashi-higashi observation sites from Aug. 2009 to Oct. 2009.

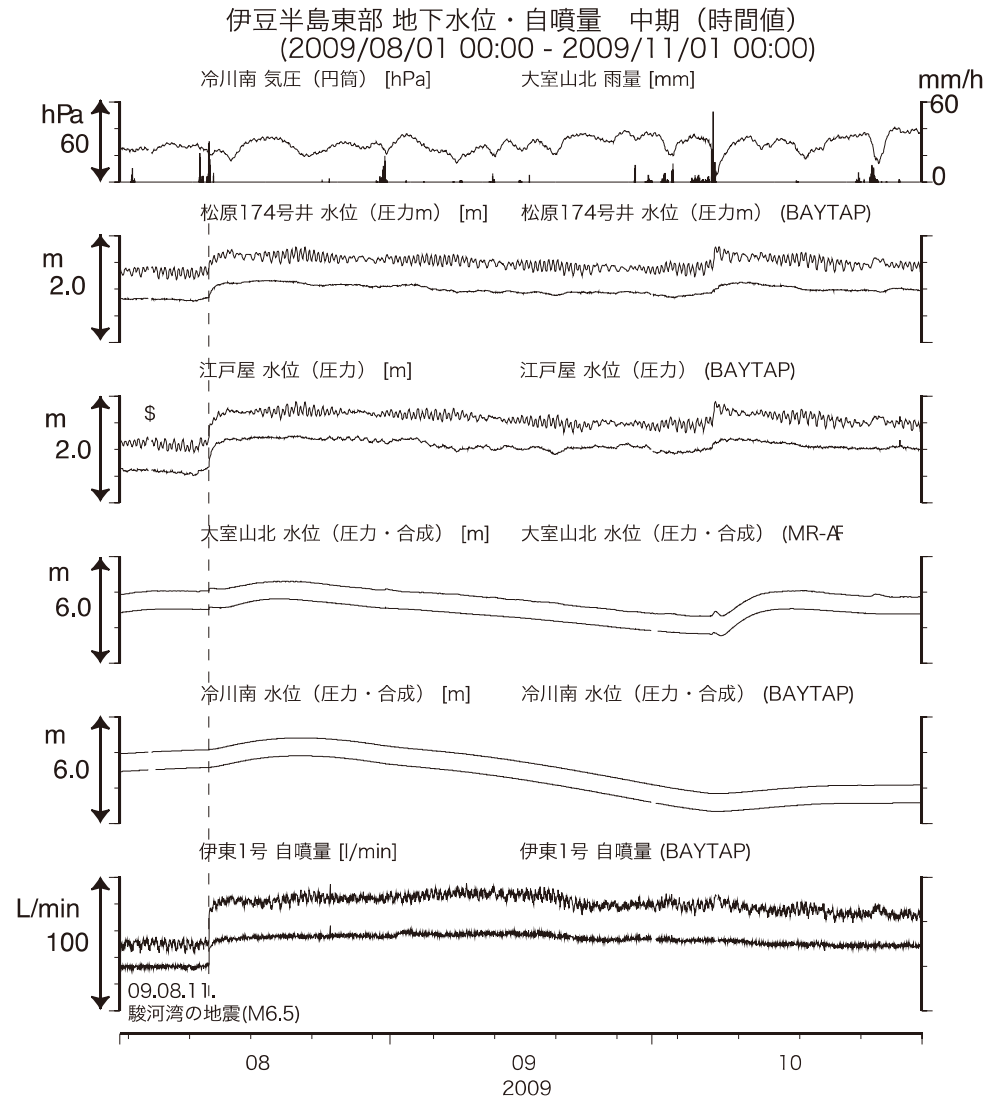


第11図 東海地域西部(豊橋東)の歪等の観測結果(2009年5月~2009年7月)
 Fig.11 Observed strain and others at the Toyohashi-higashi observation site from May, 2009 to Jul. 2009.

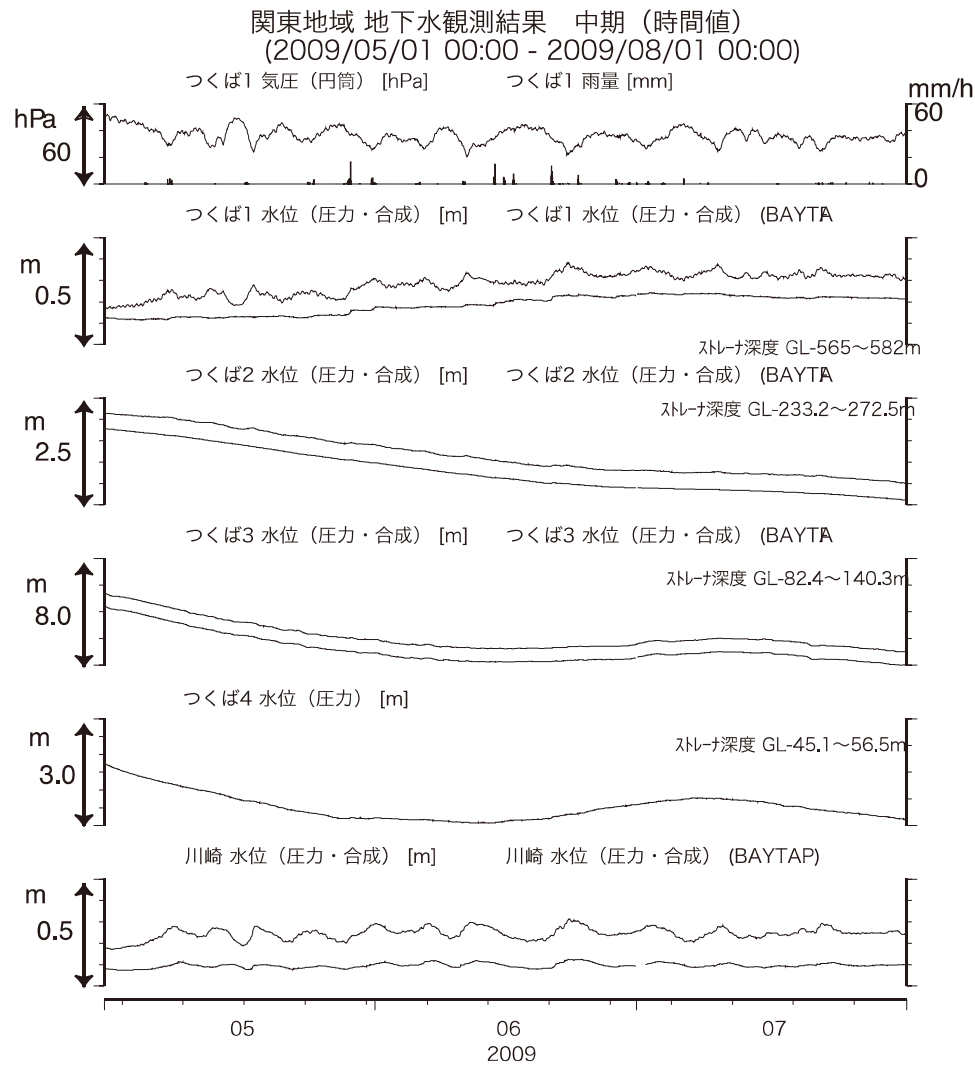
第12図 東海地域西部(豊橋東)の歪等の観測結果(2009年8月~2009年10月)
 Fig.12 Observed strain and others at the Toyohashi-higashi observation site from Aug. 2009 to Oct. 2009.



第13図 伊豆半島東部の地下水等の観測結果(2009年5月~2009年7月)
Fig.13 Observed groundwater levels and others in the eastern Izu peninsula district from May. 2009 to Jul. 2009.

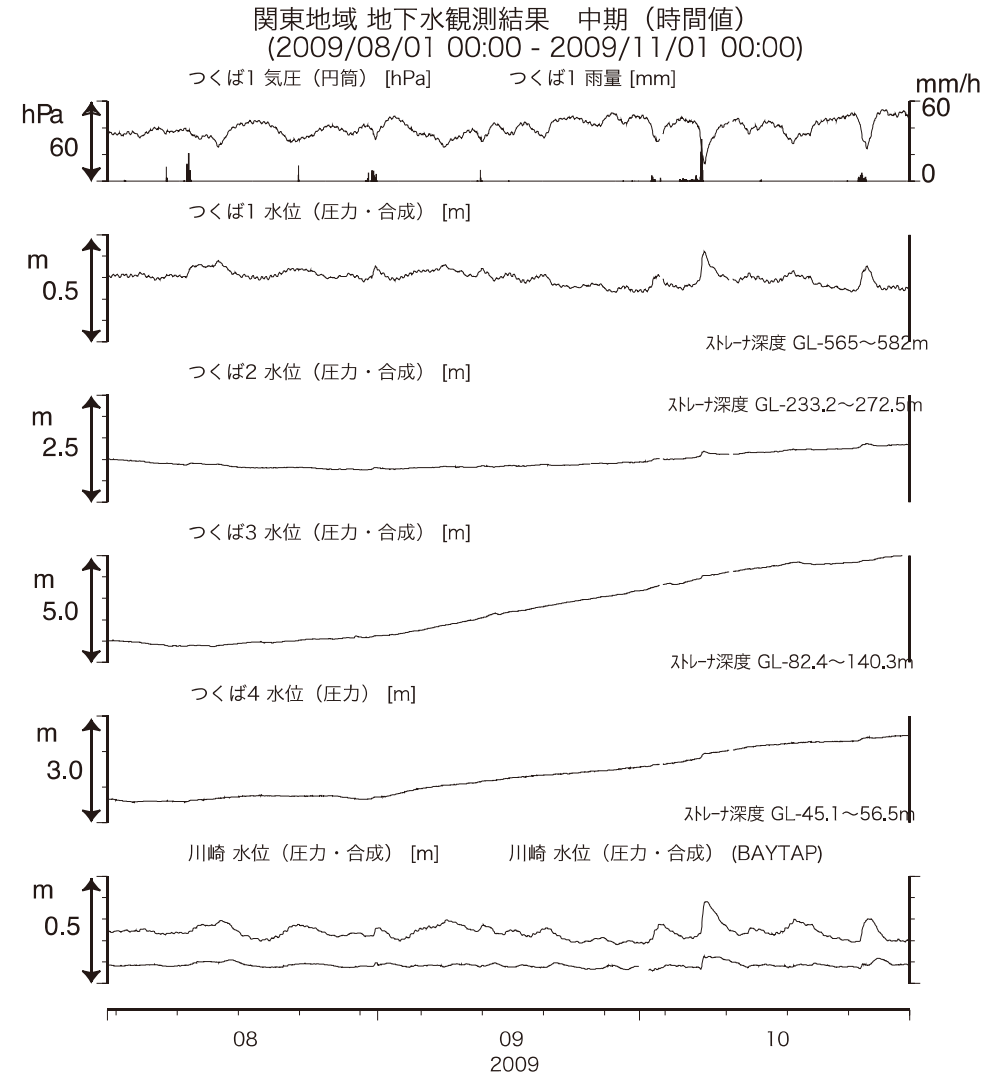


第14図 伊豆半島東部の地下水等の観測結果(2009年8月~2009年10月)
Fig.14 Observed groundwater levels and others in the eastern Izu peninsula district from Aug. 2009 to Oct. 2009.



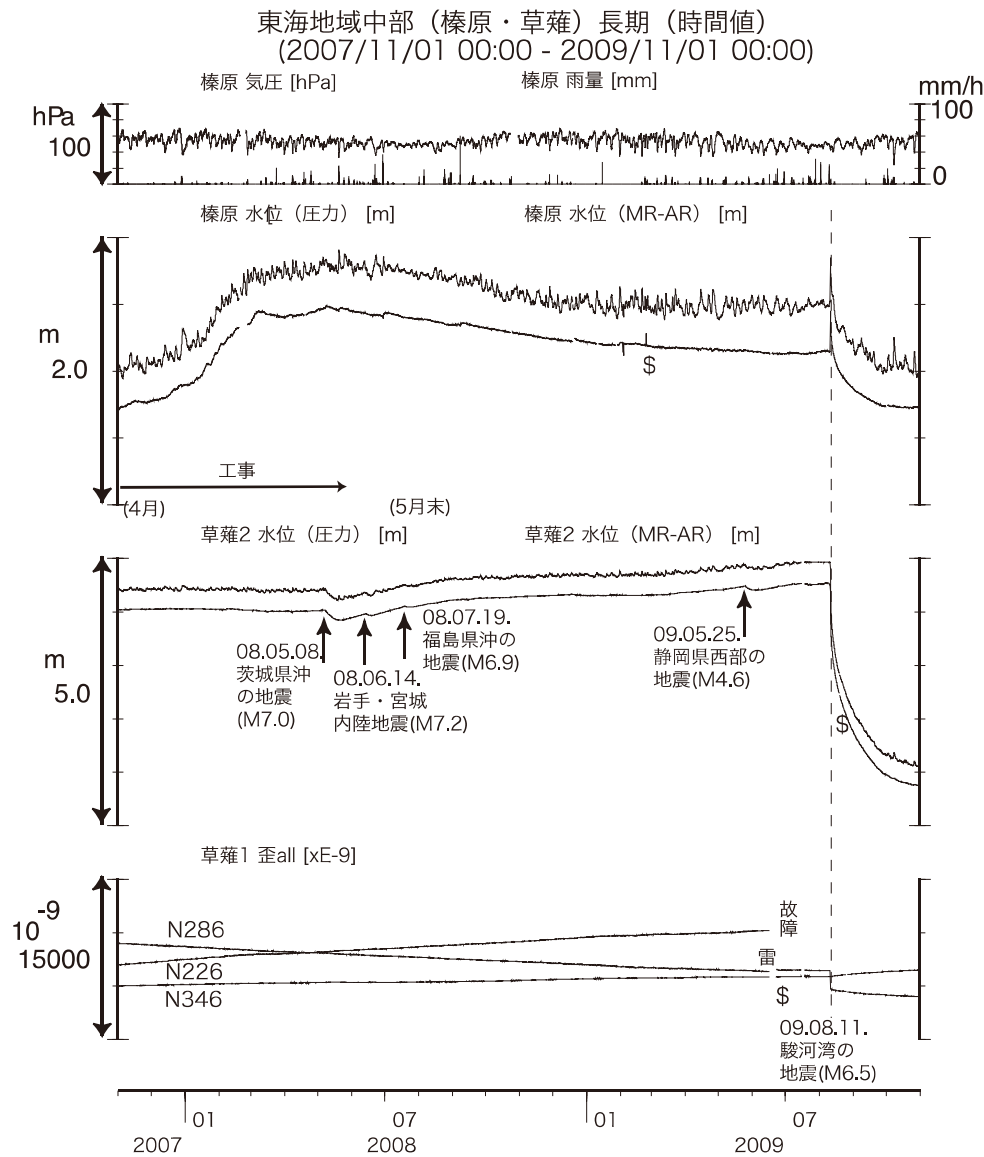
第15図 関東地域の地下水等の観測結果(2009年5月～2009年7月)

Fig.15 Observed groundwater levels and others in the Kanto district from May. 2009 to Jul. 2009.

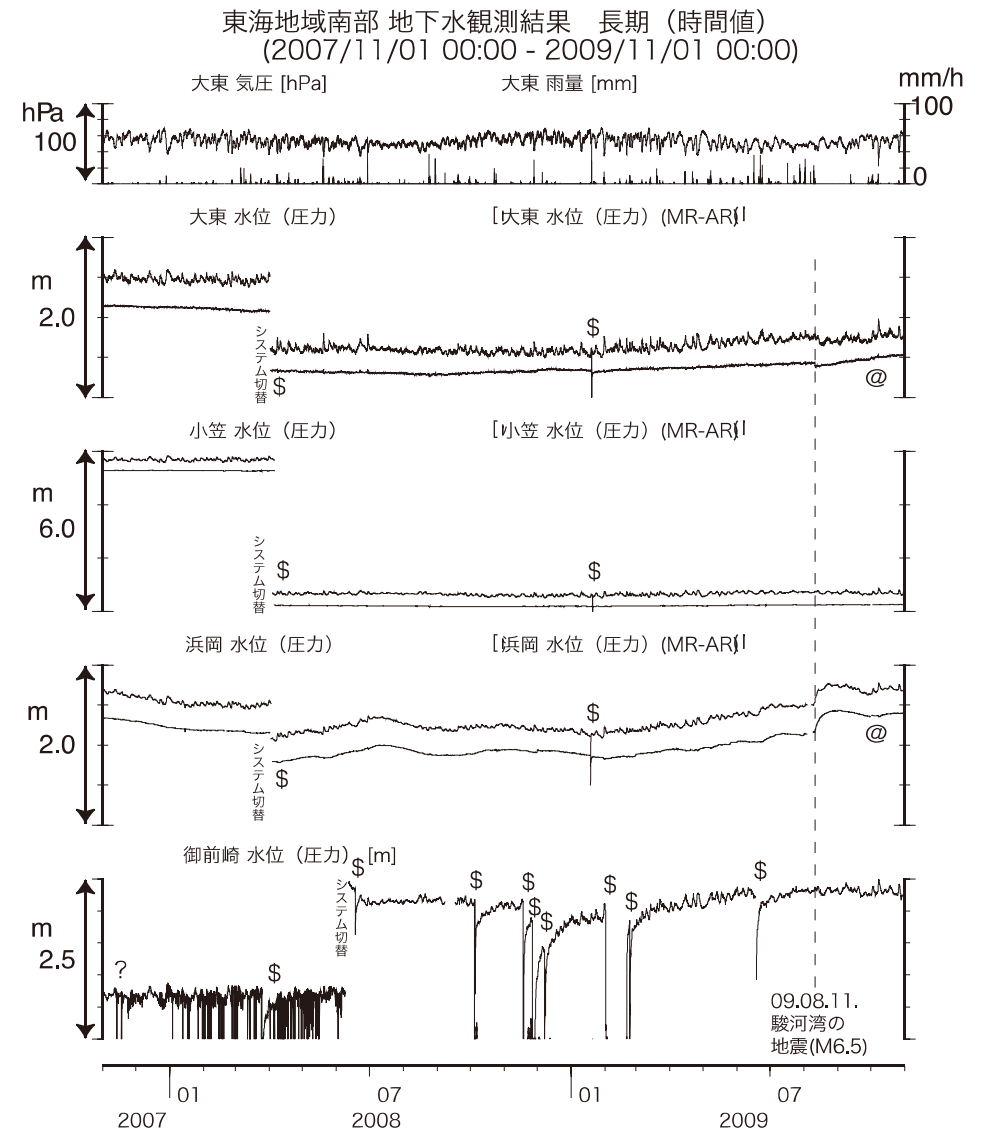


第16図 関東地域の地下水等の観測結果(2009年8月～2009年10月)

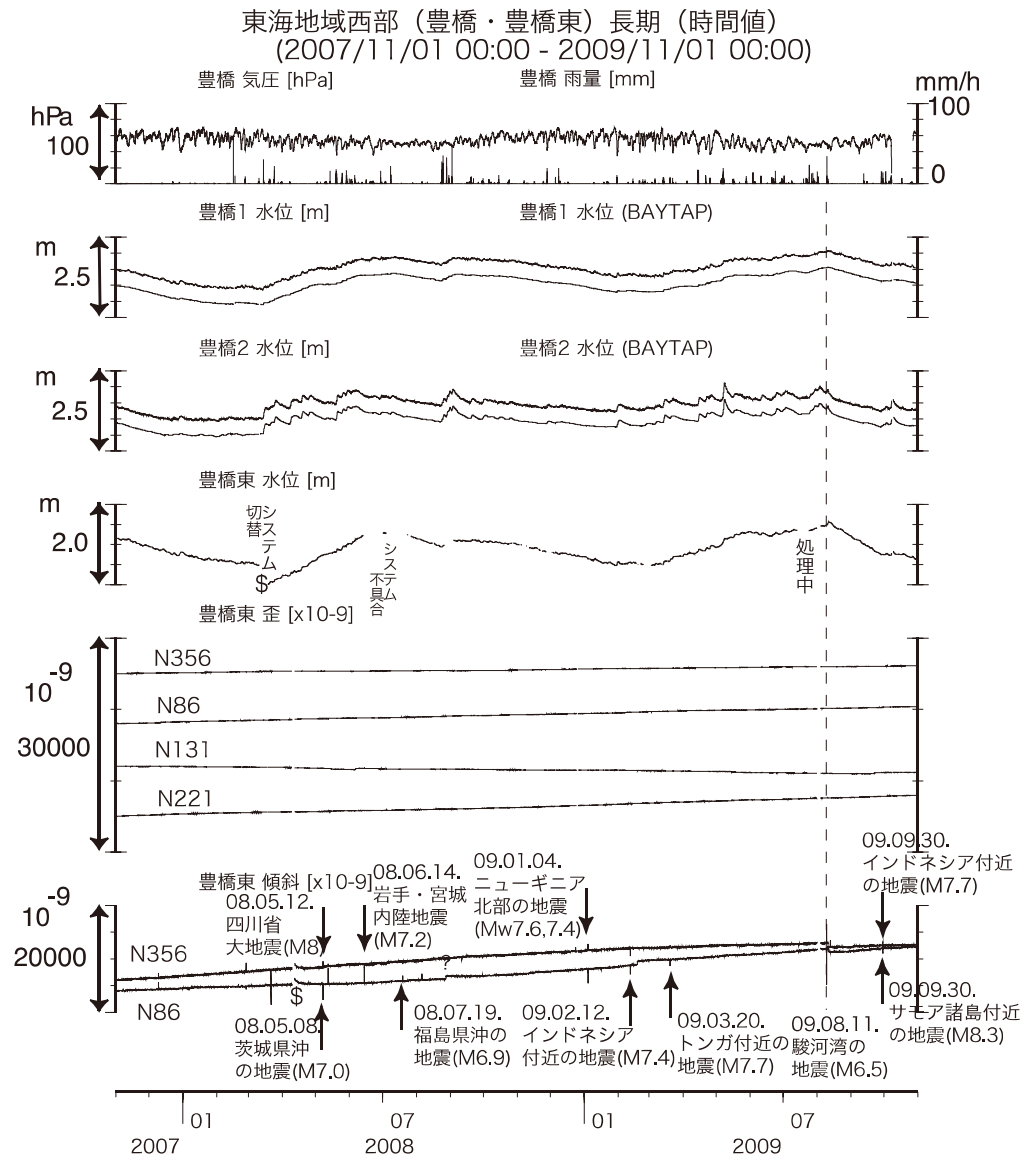
Fig.16 Observed groundwater levels and others in the Kanto district from Aug. 2009 to Oct. 2009.



第17図 東海地域中部の地下水等の観測結果(2007年11月～2009年10月)
Fig.17 Observed groundwater levels and others in the central Tokai district from Nov. 2007 to Oct. 2009.

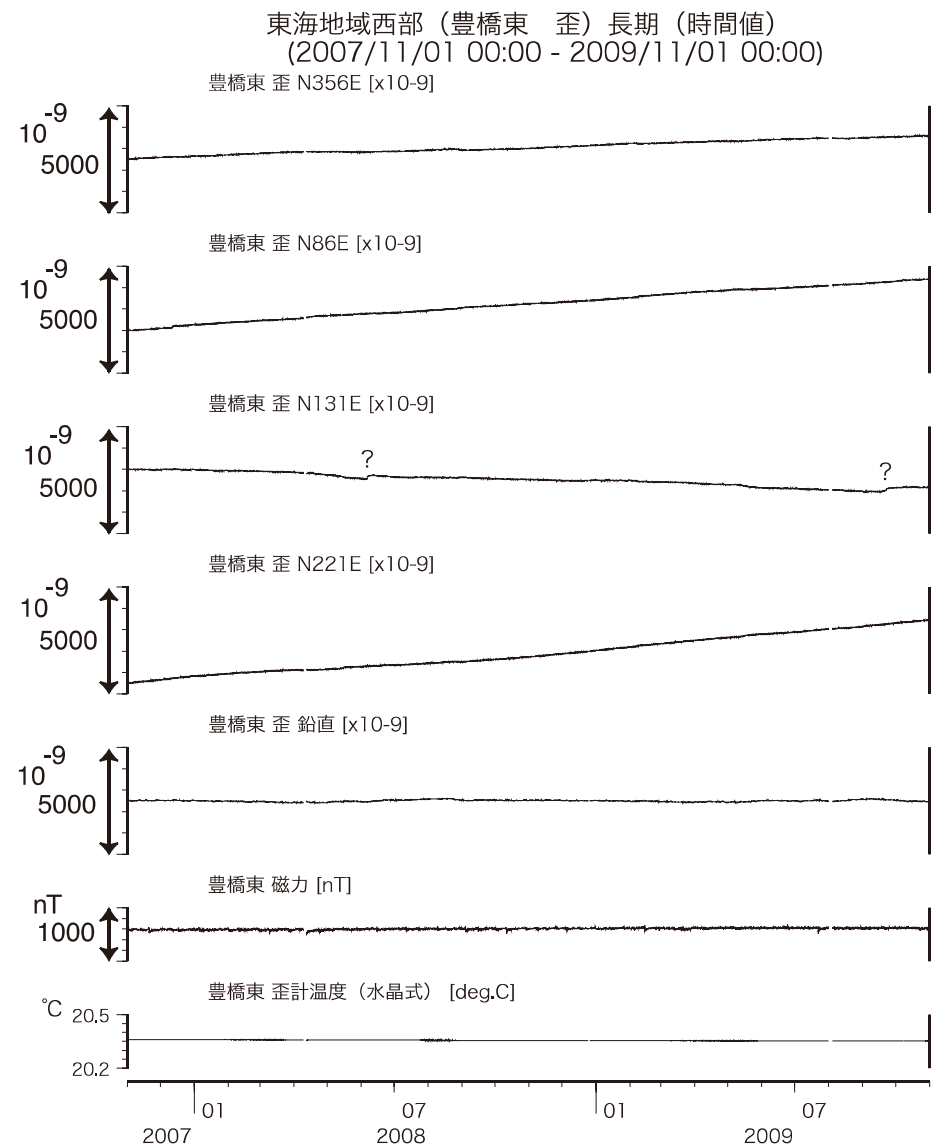


第18図 東海地域南部の地下水等の観測結果(2007年11月～2009年10月)
Fig.18 Observed groundwater levels and others in the southern Tokai district from Nov. 2007 to Oct. 2009.



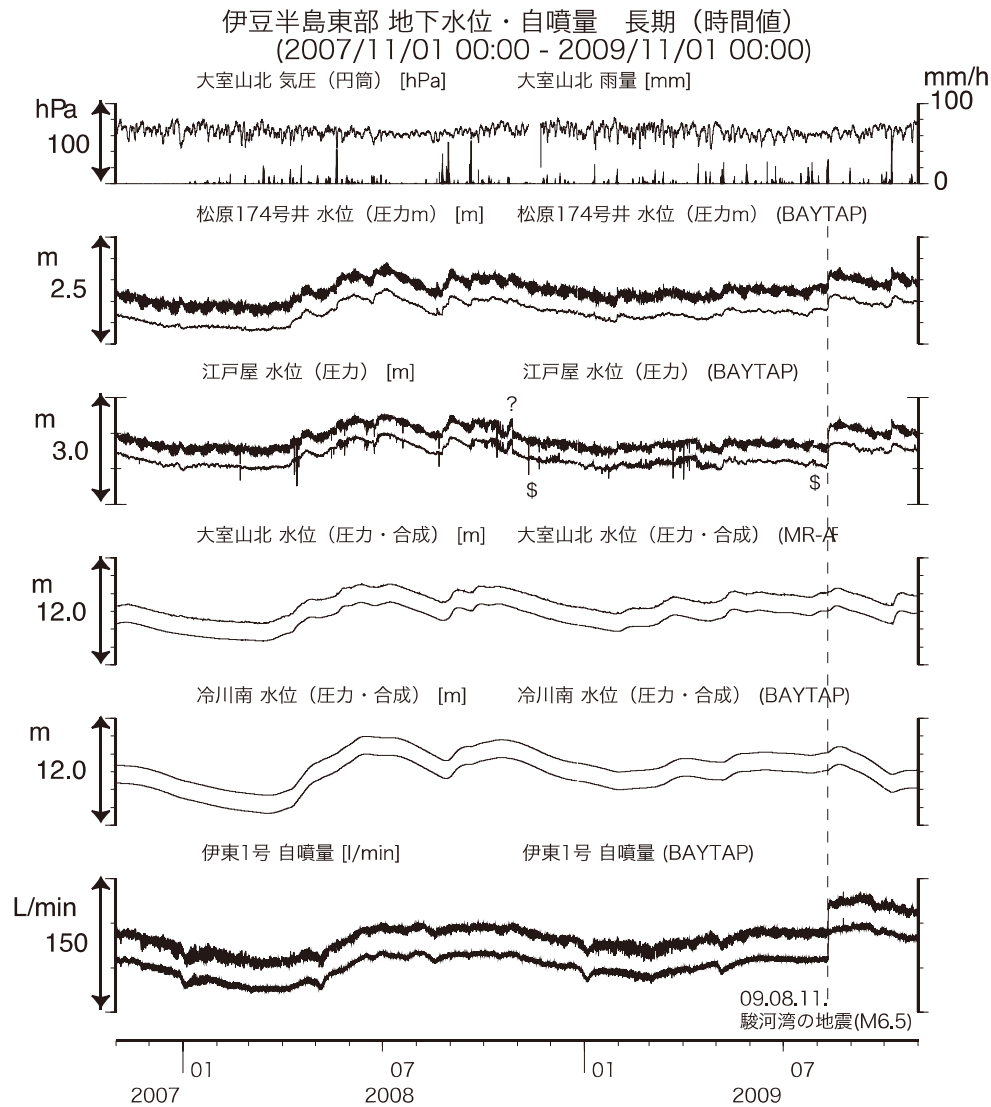
第19図 東海地域西部(豊橋・豊橋東)の地下水等の観測結果
 (2007年11月～2009年10月)

Fig.19 Observed groundwater levels and others at the Toyohashi and Toyohashi-higashi observation sites in the western Tokai district from Nov. 2007 to Oct. 2009.

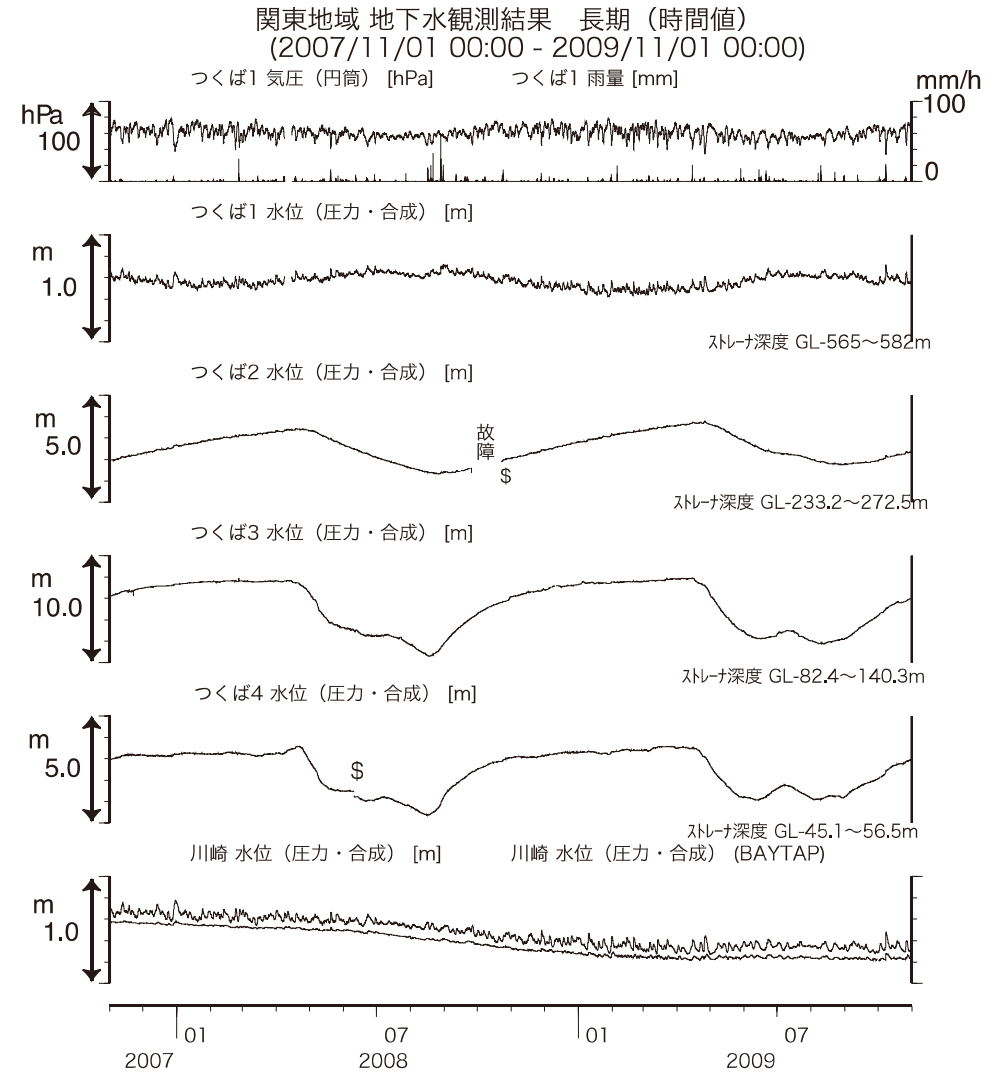


第20図 東海地域西部(豊橋東)の歪等の観測結果
 (2007年11月～2009年10月)

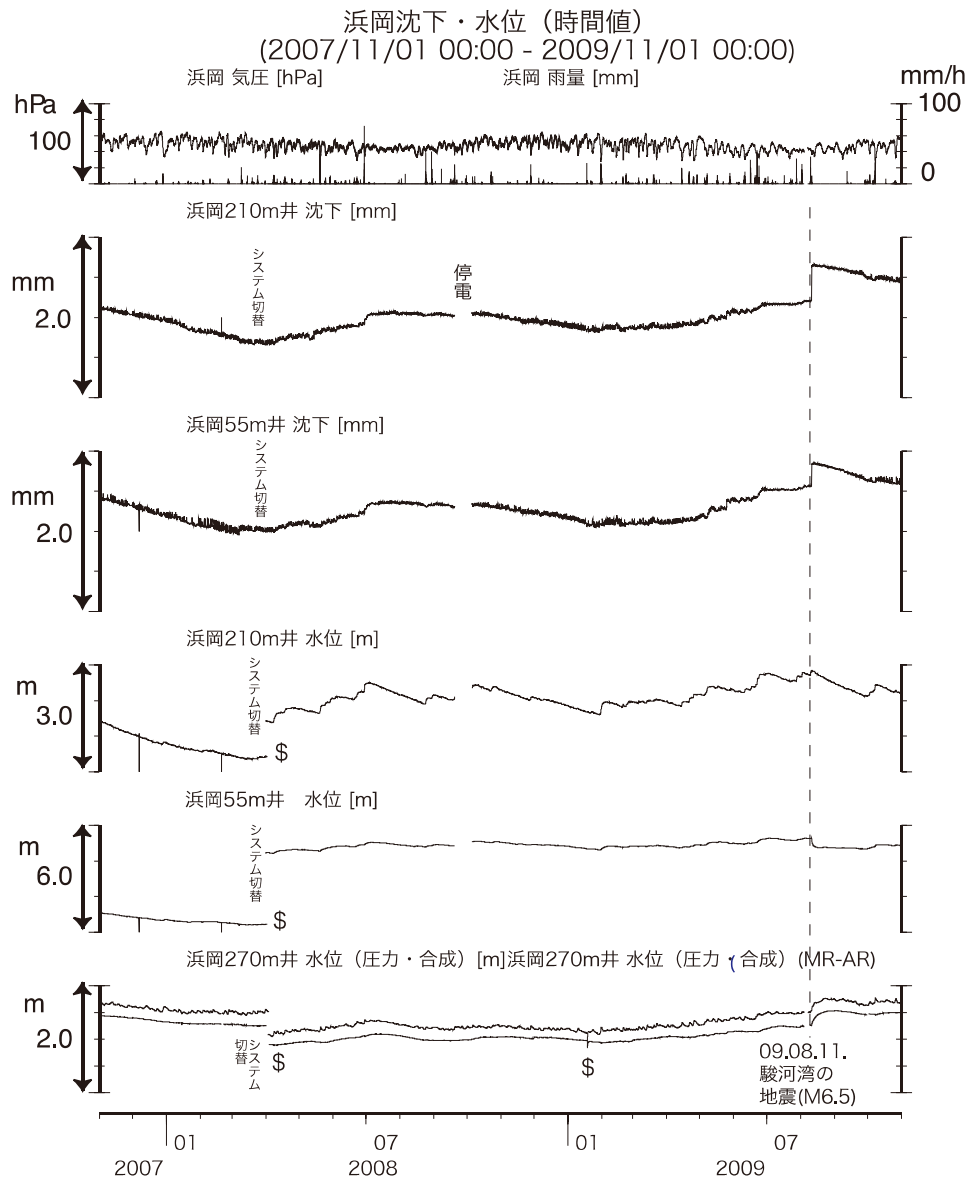
Fig.20 Observed strain and others at the Toyohashi-higashi observation site from Nov. 2007 to Oct. 2009.



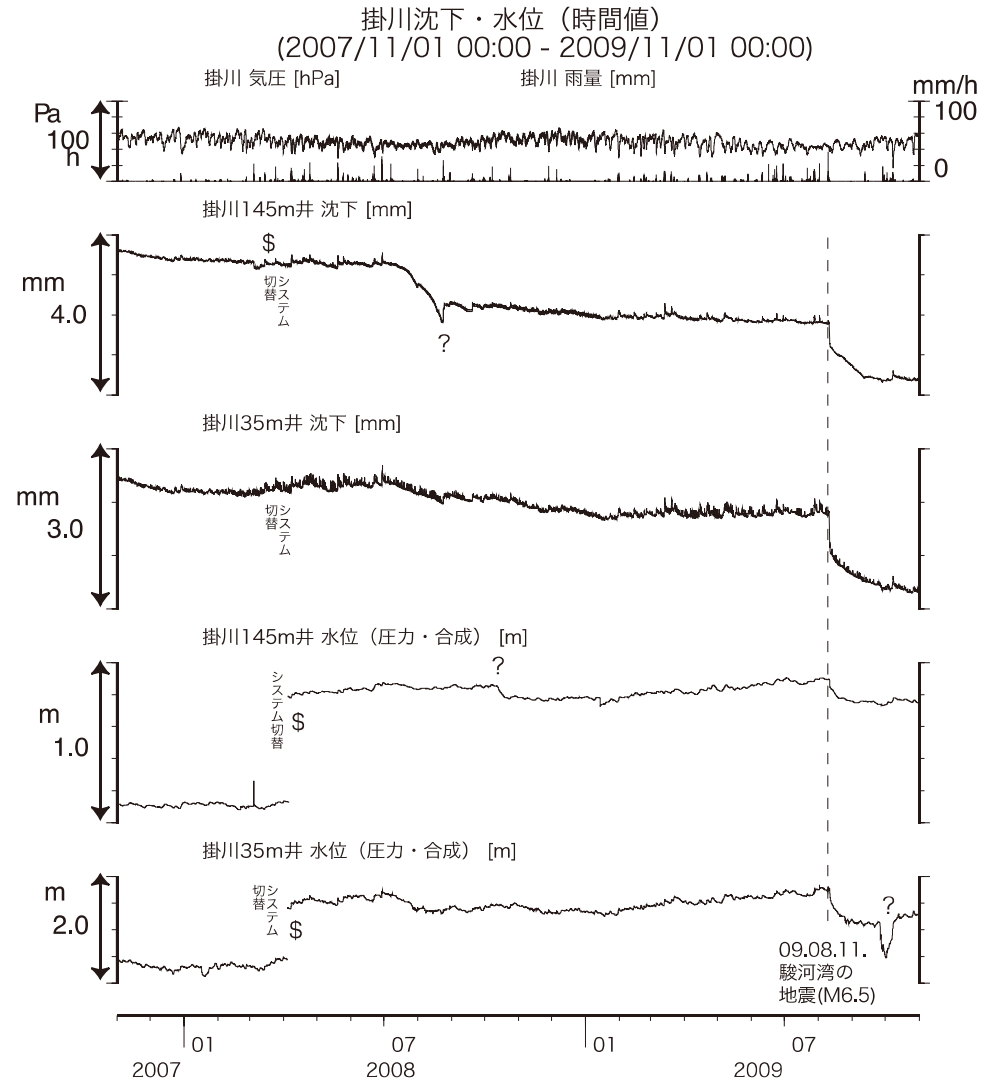
第21図 伊豆半島東部の地下水等の観測結果(2007年11月～2009年10月)
Fig.21 Observed groundwater levels and others in the eastern Izu peninsula from Nov. 2007 to Oct. 2009.



第22図 関東地域の地下水等の観測結果(2007年11月～2009年10月)
Fig.22 Observed groundwater levels and others in the Kanto district from Nov. 2007 to Oct. 2009.



第23図 浜岡における沈下等の観測結果(2007年11月～2009年10月)
 Fig.23 Observed subsidence data and others at the Hamaoka observation well from Nov. 2007 to Oct. 2009.



第24図 掛川における沈下等の観測結果(2007年11月～2009年10月)
 Fig.24 Observed subsidence data and others at the Kakegawa observation well from Nov. 2007 to Oct. 2009.